Зэрфа-бирыбыю, привырзацёйые X. № 5, 1957 Физико-математические науки

ТЕОРИЯ ПОЛЗУЧЕСТИ

М. А. Запоян

Термонапряженное состояние бетонных блоков с учетом ползучести материала

В настоящей работе рассматривается термонапряженное состояние бетонных блоков, имеющих форму длинной полосы прямоугольного поперечного сечения и цилиндра, лежащих на сплошном упругом основании. Задача рассматривается как в предположении упругой работы материала, так и с учетом ползучести. При этом принимается гипотеза, обобщающая гипотезу плоских сечений. Касательные напряжения, возникающие в контакте блока и основания, принимаются проворциональными соответствующим неремещениям. Для простоты рассмотрен тот случай, когда температура изменяется произвольным образом только по толщине блока и зависит от времени.

Обзор литературы о температурных напряжениях в бетонных блоках можно найти в работе [1].

§ 1. Термо-упругое напряженное состояние прямоугольного бетонного блока (полосы)

19. Рассмотрим упругое напряженное состояние бетонного прямоугольного блока высотой 2h, длиной 2a, шириной 2b, дежащего на сплошном упругом основании (фиг. 1), вызванное температурным воздействием, меняющимся по высоте и по времени. При этом при-

 $\frac{h}{b}$ и $\frac{b}{a}$ меньше $\frac{1}{4}$ Вследствие разности механи-

ческих свойств материалов блока (бетон) и основания (старый бетон, скала, грунт и т. д. в продольном и поперечном направлениях контакта возникают касательные напряжения. Эти напряжения обозначим через $\tau_x(x,y)$, $\tau_y(x,y)$, а перемещения в соответствующих изправлениях — через u(x,y), v(x,y).

При решении задачи будем полагать [1, 2, 3], что

$$\tau_x(x, y) = \beta u(x, y),$$

 $\tau_y(x, y) = \beta v(x, y),$ (1)

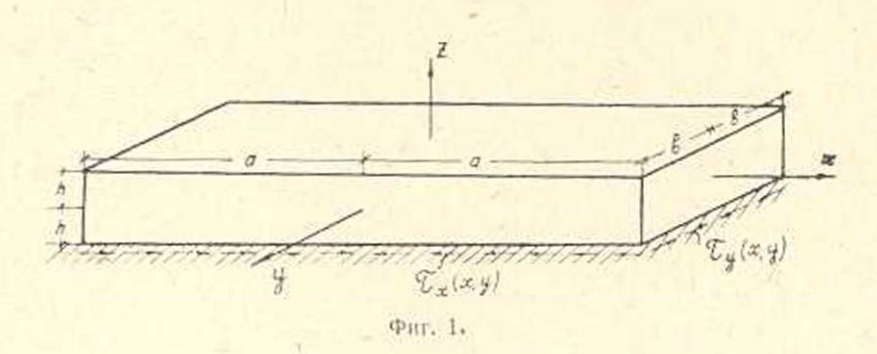
где 3 - коэффициент пропорциональности, определяемый из опыта и « имеющий размерность кг/см³.

Обозначая перемещения произвольной точки блока по х и у соответственно через U(x,y,z) и V(x,y,z) и пренебрегая σ_z (x,y,z). для компонентов нормальных напряжений имеем

$$z_{x}(x, y, z) = \frac{E}{1 - v^{2}} \left[\frac{\partial U(x, y, z)}{\partial x} + v \frac{\partial V(x, y, z)}{\partial y} \right] - \frac{E z_{1} T(z)}{1 - v},$$

$$z_{y}(x, y, z) = \frac{E}{1 - v^{2}} \left[\frac{\partial V(x, y, z)}{\partial y} + v \frac{\partial U(x, y, z)}{\partial x} \right] - \frac{E z_{1} T(z)}{1 - v} \tag{2},$$

где E — модуль упругости бетона, v — коэффициент Пуассона, α_1 — коэффициент температурного расширения, а T(z) — температурная функция.



Принимаем:

$$\frac{\partial U(x, y, z)}{\partial x} = A(x, y) + B(x, y)z,$$

$$\frac{\partial V(x, y, z)}{\partial y} = C(x, y) + D(x, y)z,$$
(3)

где A(x, y), B(x, y), C(x, y) и D(x, y) — неизвестные функции переменных x и y.

Написав условия равновесия части блока ($x \le a$, $y \le \zeta \le b$, — $h \le z \le h$), сделав ряд преобразований и пренебрегая компонентами $z_x(x,y,z)$ и $z_{xy}(x,y,z)$ получим:

$$\int_{-h}^{h} \sigma_{x}(x, y, z) dz + \int_{x}^{d} \tau_{x}(x, y) dx = 0,$$

$$\int_{-h}^{h} \sigma_{y}(x, y, z) dz + \int_{x}^{h} \tau_{y}(x, y) dy = 0,$$

$$\int_{-h}^{h} \sigma_{x}(x, y, z) z dz - h \int_{x}^{h} \tau_{x}(x, y) dx = 0,$$
(4)

$$\int_{-h}^{h} \sigma_{y}(x, y, z) z dz - h \int_{y}^{h} \tau_{y}(x, y) d = \mathcal{A}$$

$$\int_{-h}^{h} \tau_{xz}(x, y, z) dz = 0, \quad \int_{-h}^{h} \tau_{yz}(x, y, z) dz = 0.$$

2°. Из соотношений (2), (3), (4) следует

$$\frac{\partial U(x,y,z)}{\partial x} = \varepsilon_1 + \varepsilon_2 z - \frac{1}{2Eh} \left(1 - \frac{3z}{h} \right) \left\{ \int_x^{\theta} \tau_x(x,y) dx - v \int_y^{\theta} \tau_y(x,y) dy \right\},$$
(5)

$$\frac{\partial V(x,y,z)}{\partial y} = z_1 + z_2 z - \frac{1}{2Eh} \left(1 - \frac{3z}{h} \right) \left\{ \int_{y}^{h} \tau_y \left(x,y \right) dy - y \int_{y}^{h} \tau_x \left(x,y \right) dx \right\}.$$

рде

$$\varepsilon_1 = \frac{\alpha_1}{2h} \int_{-h}^{h} T(z)dz, \quad \varepsilon_2 = \frac{3\alpha_1}{2h^2} \int_{-h}^{h} T(z)zdz.$$
 (6)

Подставляя значения $\tau_x(x,y)$ и $\tau_y(x,y)$ из (1) в (5) и принимая z=-h, получим

$$\frac{\partial u(x,y)}{\partial x} = z - \lambda^2 \int_x^a u(x,y) \, dy + y \lambda^2 \int_y^b v(x,y) \, dy,$$

$$\frac{\partial v(x,y)}{\partial y} = z - \lambda^2 \int_y^b v(x,y) \, dy + y \lambda^2 \int_x^b u(x,y) \, dx.$$
(7)

гле

$$\lambda = \sqrt{\frac{2\beta}{Eh}}; \qquad \varepsilon = \frac{\alpha_1}{2h} \int_{-h}^{h} T(z) \left(1 - \frac{3z}{h}\right) dz. \tag{8}$$

Систему интегро-дифференциальных соотношений (7) можно привести к системе двух дифференциальных уравнений второго порядка

$$\frac{\partial^2 u}{\partial x^2} + \nu \frac{\partial^2 v}{\partial x \partial y} = \lambda^2 (1 - \nu^2) u,$$

$$\frac{\partial^2 v}{\partial y^2} + \nu \frac{\partial^2 u}{\partial x \partial y} = \lambda^2 (1 - \nu^2) v,$$
(9)

со следующими граничными условиями

$$u = \frac{\varepsilon}{h} \frac{\sinh x}{\cosh a}$$
 при $y = b$ (10)

$$v = \frac{\varepsilon}{\lambda} \frac{\sinh y}{\cosh b}$$
 upu $x = a$ (11)

$$u = 0$$
 при $x = 0$ (12)

$$v = 0$$
 при $y = 0$ (13)

$$\frac{\partial u}{\partial x} = \varepsilon \left[1 + v \left(1 - \frac{\cosh y}{\cosh \lambda b} \right) \right]$$
при $x = a$ (14)

$$\frac{\partial v}{\partial y} = \epsilon \left[1 + v \left(1 - \frac{\mathrm{ch} \lambda x}{\mathrm{ch} \lambda a} \right) \right] \mathrm{при} \quad y = b \tag{15}$$

$$\frac{\partial u}{\partial y} = 0 \qquad \text{при } y = 0 \tag{16}$$

$$\frac{\partial v}{\partial x} = 0$$
 при $x = 0$. (17)

Причем (12) и (13) написаны из условия симметрии.

Система дифференциальных уравнений (У) разбивается на два самостоятельных уравнения вида:

$$\frac{\partial^4 u}{\partial x^2 \partial y^2} - \lambda^2 \left(\frac{\partial^2 u}{\partial x^2} + \frac{\partial^2 u}{\partial y^2} \right) + \lambda^4 (1 - v^2) u = 0. \tag{18}$$

Итак, окончательно, поставленная задача формулируется так: определить функции u(x,y), v(x,y) в прямоугольной области $0 \le x \le a$, $0 \le y \le b$, удовлетворяющие диффернциальному уравнению (18) и краевым условиям (10)—(17).

3°. По методу Г. А. Гринберга [4] решение уравнения (18) ищем в виде ряда

$$u(x, y) = \sum_{n=1}^{\infty} u_n(y) \Phi_n(x),$$
 (19)

где $\Phi_n(x)$ — решения дифференциального уравнения

$$\Phi''(x) + \alpha^2 \Phi(x) = 0,$$

удовлетворяющие краевым условиям

$$\Phi(0) = 0, \quad \Phi'(a) = 0.$$

Они имеют вид:

$$\Phi_n(x) = \sqrt{\frac{2}{a}} \sin \alpha_n x, \tag{20}$$

где

$$a_n = \frac{(2n-1)\pi}{2a}$$
, $n = 1, 2, 3, \dots, \infty$. (21)

Умножая (18) на $\Phi_n(\mathbf{x})$, интегрируя по \mathbf{x} от нуля до a, учитывая преобразование

$$\int_{0}^{a} \frac{\partial^{2} u}{\partial x^{2}} \Phi_{n}(x) dx = z \Phi_{n}(a) \left[1 + \gamma \left(1 - \frac{\cosh \nu}{\cosh \nu} \right) \right] - z_{n}^{2} \int_{0}^{a} u(x, y) \Phi_{n}(x) dx$$

и значение

$$u_n(y) = \int_0^u u(x, y) \, \Phi_n(x) dx,$$
 (22)

вытеклющее из разложения (19), получим дифференциальное уравнение относительно неизвестной функции:

$$\frac{d^2u_n}{dy^2} - \gamma_n^2 u_n = -\frac{(1+\tau) \varepsilon \lambda^2 \Phi_n(\alpha)}{\sigma_n^2 + \lambda^2},$$
(23)

тле

$$\gamma_n^2 = \frac{\alpha_n^2 + (1 - \gamma^2) \lambda^2}{\alpha_n^2 + \lambda^2} \lambda^2, \quad (24)$$

Граничные условия полученного уравнения следуют из (22), (16) и (10)

$$u_n(y) = \frac{\varepsilon \Phi_n(a)}{\alpha_n^2 + \lambda^2}$$
 при $y = b$

$$\frac{du_n}{dy} = 0$$
 при $y = 0$.

Решая дифференциальное уравнение (23) при краевых условиях (25), получим:

$$u_n(y) = \sqrt{\frac{2}{a}} \frac{\epsilon(-1)^{n+1}}{(\alpha_n^2 + \lambda^2) \gamma_n^2} \left\{ (1+v)\lambda^2 + \left[\gamma_n^2 - (1+v)\lambda^2 \right] \frac{\cosh \gamma_n y}{\cosh \gamma_n b} \right\}$$
 (26)

в, наконец, из (19), (20) и (26) будем иметь

$$n(x, y) = \frac{2\varepsilon}{a} \sum_{n=1}^{\infty} \frac{(-1)^{n+1}}{\left(\alpha_n^2 + \lambda^2\right) \gamma_n^2} \left\{ (1+v)\lambda^2 + \left[\gamma_n^2 - (1+v)\lambda^2\right] \frac{\text{cir}\gamma_n y}{\text{ch}\gamma_n b} \right\} \sin \alpha_n x. (27)$$

Из (24) следует

$$\lambda \sqrt{1-v^2} \leqslant \gamma_n \leqslant \lambda$$
 при $n=1, 2, 3, \dots, \infty$.

Принимая $\gamma_n = \lambda$, из (27) получим

$$u(x, y) = \frac{2\varepsilon}{a} \left[1 + v \left(1 - \frac{\cosh y}{\cosh b} \right) \right] \sum_{n=1}^{\infty} \frac{(-1)^{n+1}}{\alpha_n^2 + \lambda^2} \sin \alpha_n x.$$
 (28)

Разлагая функцию sh λx в ряд Фурье по системе функции $\{\sin \alpha_n x\}$, находим

$$\sum_{n=1}^{\infty} \frac{(-1)^{n+1}}{\alpha_n^2 + \lambda^2} \sin \alpha_n x = \frac{a}{2\lambda} \frac{\sinh x}{\cosh a}.$$
 (29)

Итак,

$$u(x, y) = \frac{s}{\lambda} \left[1 + v \left(1 - \frac{\cosh y}{\cosh b} \right) \right] \frac{\sinh x}{\cosh a}. \tag{30}$$

Принимая $\frac{1}{2}n = \lambda \sqrt{1 - y^2}$ получим

$$u(x, y) = \frac{\varepsilon}{(1-y)\lambda} \left[1 - y \frac{\cosh \sqrt{1-y^2} y}{\cosh \sqrt{1-y^2} h} \right] \frac{\sinh x}{\cosh a}. \quad (31)$$

Легко убедиться, что расхождения между получениыми верхними и инжними оценками u(x, y) весьма незначительны.

Из (1), (2), (5), (30) и аналогичных выражений, получаемых для v(x, y), имеем:

$$z_{x}(x, y) = \frac{\beta z}{\lambda} \left[1 + i \left(1 - \frac{\cosh x}{\cosh x} \right) \right] \frac{\sinh x}{\cosh a},$$

$$z_{y}(x, y) = \frac{\beta z}{\lambda} \left[1 + i \left(1 - \frac{\cosh x}{\cosh a} \right) \right] \frac{\sinh y}{\cosh b},$$

$$z_{x}(x, y, z) = \frac{E}{1 - i} \left[z_{1} + z_{2}z - z_{1}T(z) \right] - \frac{Ez}{4} \left(1 - \frac{3z}{h} \right) \left[1 + i \left(1 - \frac{\cosh x}{\cosh b} \right) \right] \left(1 - \frac{\cosh x}{\cosh a} \right).$$
(32)

$$\varepsilon_y(x, y, z) = \frac{E}{1-y} \left[\varepsilon_1 + \varepsilon_2 z - z_1 T(z) \right] - \frac{E\varepsilon}{4} \left(1 - \frac{3z}{h} \right) \left[1 + y \left(1 - \frac{\cosh x}{\cosh a} \right) \right] \left(1 - \frac{\cosh y}{\cosh b} \right).$$

Написав условня равновесия бесконечно малого элемента блока и пренебрегая $\tau_{vv}(x, y, z)$, находим

$$\tau_{xz}(x, y, z) = \int_{z}^{h} \frac{\partial z_{x}(x, y, z)}{\partial x} dz,$$

$$\tau_{yz}(x, y, z) = \int_{z}^{h} \frac{\partial z_{y}(x, y, z)}{\partial y} dz.$$
(34)

Подставляя (33) в (34), получим значения касательных папряжений в произвольной точке блока

$$\tau_{xz}(x, y, z) = -\frac{1}{4} \left(1 - \frac{z}{h} \right) \left(1 + \frac{3z}{h} \right) \tau_x(x, y),
\tau_{yz}(x, y, z) = -\frac{1}{4} \left(1 - \frac{z}{h} \right) \left(1 + \frac{3z}{h} \right) \tau_y(x, y).$$
(35)

Интегрируя первое уравнение (5) от нуля до x и используя условие U(0, y, z) = 0, будем иметь

$$U(x, y, z) = (\varepsilon_1 + \varepsilon_2 z) x -$$

$$= \frac{1}{2Eh} \left(1 - \frac{3z}{h} \right) \int_0^z \left\{ \int_x^a \tau_X(x, y) \, dx + v \int_y^h \tau_Y(x, y) dy \right\} dx.$$

Подставляя здесь значения $\tau_x(x, y)$ и $\tau_y(x, y)$ из (32), получим

$$U(x, y, z) = (\varepsilon_1 + \varepsilon_2 z) x -$$

$$-\frac{\varepsilon}{4}\left(1-\frac{3\varepsilon}{\hbar}\right)\left\{\left(x-\frac{\sinh x}{\hbar \cosh a}\right)\left[1+v\left(1+v\right)\left(1-\frac{\cosh y}{\cosh b}\right)\right]-vx\right\},$$
 (36)

Аналогично, из второго уравнения (5) имеем

$$V(x, y, z) = (\varepsilon_1 + \varepsilon_2 z) y$$

$$-\frac{\varepsilon}{4}\left(1-\frac{3z}{h}\right)\left\{\left(y-\frac{\sinh y}{\lambda \cosh \lambda b}\right)\left[1+v\left(1+v\right)\left(1-\frac{\cosh x}{\cosh \lambda a}\right)\right]-vy\right\};\tag{37}$$

При равномерном распределении температуры в блоке из (32)
 (33), (36) и (37) следует

$$\tau_{x}(x,y) = \frac{\beta z_{1} T_{0}}{\lambda} \left[1 + \nu \left(1 - \frac{\cosh y}{\cosh b} \right) \right] \frac{\sinh x}{\cosh a},$$

$$\tau_{y}(x,y) = \frac{\beta z_{1} T_{0}}{\lambda} \left[1 + \nu \left(1 - \frac{\cosh x}{\cosh a} \right) \right] \frac{\sinh y}{\cosh b}.$$
(38)

$$\sigma_{x}(x,y,z) = -\frac{1}{4} E \alpha_{1} T_{0} \left(1 - \frac{3z}{\hbar}\right) \left[1 + v\left(1 - \frac{\cosh y}{\cosh b}\right)\right] \left(1 - \frac{\cosh x}{\cosh a}\right),$$

$$\sigma_{y}\left(x,y,z\right)=-\frac{1}{4}E\alpha_{1}T_{0}\left(1-\frac{3z}{h}\right)\left[1+\gamma\left(1-\frac{\mathrm{ch}\lambda x}{\mathrm{ch}\lambda a}\right)\right]\left(1-\frac{\mathrm{ch}\lambda y}{\mathrm{ch}\lambda b}\right),\tag{39}$$

$$U(x, y, z) = \alpha_1 T_0 x - \frac{1}{4} E \alpha_1 T_0 \left(1 - \frac{3z}{h}\right) \left\{ \left(x - \frac{\sinh x}{\sinh \lambda a}\right) \left[1 + \tau \left(1 + \tau\right) \left(1 - \frac{\cosh y}{\cosh \lambda b}\right)\right] - \tau x \right\};$$

$$V(x; y, z) = \alpha_1 T_0 y - \frac{1}{4} \alpha_1 T_0 \left(1 - \frac{3z}{h}\right) \left\{ \left(y - \frac{\sinh y}{\sinh \lambda b}\right) \left[1 + \tau \left(1 + \tau\right) \left(1 - \frac{\cosh x}{\cosh \lambda a}\right)\right] - \tau y \right\};$$
(40)

Из выражения нормальных напряжений (39) вытекает, что

$$z_0 = \frac{1}{3}h$$

является уравнением нейтральной плоскости блока.

При данных значениях x и y нормальные напряжения по величине в нижнем крае блока в два раза больше, чем на верхнем. Наибольших значений эти напряжения в горизонтальных направлениях достигают при x = 0, y = 0. Наибольшие напряжения $\tau_x(x, y)$ и $\tau_y(x, y)$ достигаются соответственно при x = a и y = b. Горизонтальные перемещения точки нейтральной плоскости суть

$$U\left(x,y,\frac{1}{3}h\right) = a_1T_0x, \quad V\left(x,y,\frac{1}{3}h\right) = a_1T_0y.$$

§ 2. Термонапряженное состояние прямоугольного бетонного блока (полосы) с учетом ползучести

1°. В постановке задачи, аналогичной предыдущему параграфу, исследуем напряженное состояние прямоугольного блока с учетом ползучести бетона. Принимаем следующее условие на контакте

$$\tau_x^*(x, y, t) = \beta u^*(x, y, t),$$
 $\tau_x^*(x, y, t) = \beta v^*(x, y, t).$
(41)

Связь между деформациями и напряжениями имеет следующий вид [5]

$$\begin{split} \frac{\partial U^*(t)}{\partial x} &= \alpha_1 T(t) + \frac{1}{E(t)} \left[\sigma_x^*(t) - \nu \sigma_y^*(t) \right] - \\ &- \int_{\tau_x}^{\tau_x} \left[\sigma_x^*(\tau) - \nu \sigma_y^*(\tau) \right] \frac{\partial}{\partial \tau} \delta(t, \tau) \, d\tau, \\ \frac{\partial V^*(t)}{\partial y} &= \alpha_1 T(t) + \frac{1}{E(t)} \left[\sigma_y^*(t) - \nu \sigma_x^*(t) \right] - \\ &- \int_{\tau_x}^{t} \left[\sigma_y^*(\tau) - \nu \sigma_x^*(\tau) \right] \frac{\partial}{\partial \tau} \delta(t, \tau) \, d\tau, \end{split} \tag{42)*}$$

где

$$\begin{split} \delta\left(t,\ \tau\right) &= \frac{1}{E\left(\tau\right)} + \varphi(\tau)\left[1 - e^{-\gamma(t-\tau)}\right], \\ E\left(\tau\right) &= E_{\mathbf{0}}\left[1 - e^{-\alpha\tau}\right], \qquad \varphi\left(\tau\right) = \frac{A_{1}}{\tau} + C_{\mathbf{0}}, \end{split}$$

E — модуль миновенной деформации батона при $t \to \infty$, α , C_0 , A_1 и γ — нараметры, характеризующие свойства и условия старения данного бетона.

Взамен (3) имеем:

$$\frac{\partial U^*(x,y,z,t)}{\partial x} = A^*(x,y,t) - B^*(x,y,t)z,$$

$$\frac{\partial V^*(x,y,z,t)}{\partial y} = C^*(x,y,t) + D^*(x,y,t)z. \tag{43}$$

Здесь компоненты напряжений и перемещений являются функциями также от x, y, z, в температурная функция — от z, по для краткости зациси эти аргументы опущены.

Выпишем уравнения равновесия:

$$\int_{-h}^{h} \sigma_{x}^{*}(t)dz + \int_{x}^{a} \tau_{x}^{*}(t) dx = 0,$$

$$\int_{-h}^{h} \sigma_{y}^{*}(t)dz + \int_{y}^{b} \tau_{y}^{*}(t) dy = 0,$$

$$\int_{-h}^{h} \sigma_{x}^{*}(t) z dz - h \int_{x}^{a} \tau_{x}^{*}(t) dx = 0,$$

$$\int_{-h}^{h} \sigma_{x}^{*}(t) z dz - h \int_{y}^{b} \tau_{y}^{*}(t) dy = 0,$$

$$\int_{-h}^{h} \tau_{xz}^{*}(t) dz = 0, \quad \int_{-h}^{h} \tau_{yz}^{*}(t) dz = 0.$$
(44)

После некоторых преобразований из (44), используя (42) и (43), будем иметь:

$$\frac{\partial U^*(t)}{\partial x} = \varepsilon_1(t) + \varepsilon_2(t) z - \frac{1}{2h} \left(1 - \frac{3z}{h} \right) \left\{ \int_x^a \left[\frac{\tau_x^*(t)}{E(t)} - \int_{\varepsilon_a}^t \tau_x^*(\tau) \frac{\partial}{\partial \tau} \delta(t, \tau) d\tau \right] dx + \gamma \int_y^b \left[\frac{\tau_y^*(t)}{E(t)} - \int_{\varepsilon_a}^t \tau_y^*(\tau) \frac{\partial}{\partial \tau} \delta(t, \tau) d\tau \right] dy \right\}, \tag{45}$$

$$\frac{\partial V^*(t)}{\partial \mathbf{y}} = \varepsilon_1(t) + \varepsilon_2(t)z - \frac{1}{2h}\left(1 - \frac{3z}{h}\right) \left\{ \int_y^0 \left[\frac{\tau_y^*(t)}{E(t)} - \int_{z_y}^t \tau_y^*(\tau) \frac{\partial}{\partial \tau} \delta(t, \tau) d\tau \right] d\mathbf{y} + v \int_x^0 \left[\frac{\tau_x^*(t)}{E(t)} - \int_{z_y}^t \tau_x^*(\tau) \frac{\partial}{\partial \tau} \delta(t, \tau) d\tau \right] d\mathbf{x} \right\}.$$

Принимая в (45) z = -h и учитывая (41), будем иметь

$$\frac{\partial u^*(t)}{\partial x} = \varepsilon(t) - \lambda^2(t) \int_{\tau}^{u} \left[u^*(t) - \int_{\tau}^{t} u^*(\tau) E(t) \frac{\partial}{\partial \tau} \delta(t, \tau) d\tau \right] dx +$$

$$+ \nu \lambda^2(t) \int_{u}^{u} \left[v^*(t) - \int_{\tau}^{t} v^*(\tau) E(t) \frac{\partial}{\partial \tau} \delta(t, \tau) d\tau \right] dy, \tag{46}$$

$$\begin{split} \frac{\partial v^*(t)}{\partial \mathbf{y}} &= \mathbf{z}(t) - \lambda^2(t) \int_{y}^{b} \left[v^*(t) - \int_{z_a}^{t} v^*(\tau) E(t) \frac{\partial}{\partial \tau} \delta(t,\tau) d\tau \right] d\mathbf{y} + \\ &+ v \lambda^2(t) \int_{x}^{a} \left[u^*(t) - \int_{z_a}^{t} u^*(\tau) E(t) \frac{\partial}{\partial \tau} \delta(t,\tau) d\tau \right] d\mathbf{x}. \end{split}$$

Система (46) приводится к системе двух интегро-дифференциальных уравнений -

$$\begin{split} \frac{\partial^2 u^*(t)}{\partial x^2} + \gamma \frac{\partial^2 v^*(t)}{\partial x \partial y} &= (1 - \gamma^2) \lambda^2(t) \left[u^*(t) - \int_{z_0}^t u^*(z) E(t) \frac{\partial}{\partial z} \delta(t, z) dz \right] \\ \frac{\partial^2 v^*(t)}{\partial y^3} + \gamma \frac{\partial^2 u^*(t)}{\partial x \partial y} &= (1 - \gamma^2) \lambda^2(t) \left[v^*(t) - \int_{z_0}^t v^*(z) E(t) \frac{\partial}{\partial z} \delta(t, z) dz \right]. \end{split}$$

Полученную систему уравнений будем решать приближению. Принимая в (47) v = 0, получим два самостоятельных уравнения для $u^*(t)$ и $v^*(t)$ (выписываем только одно из них):

$$\frac{\partial^2 u^*(t)}{\partial x^2} = \lambda^2(t) \left[u^*(t) - \int_{\tau}^{t} u^*(\tau) E(t) \frac{\partial}{\partial \tau} \delta(t, \tau) d\tau \right]. \tag{48}$$

 2° . Двухкратным дифференцированием уравнения (48) по t, после некоторых преобразований, приходим к следующему дифференциальному уравнению

$$\frac{\partial^4 u^*(t)}{\partial x^2 \partial t^2} + \tau \frac{\partial^3 u^*(t)}{\partial x^2 \partial t} - \lambda^2(t) \frac{\partial^2 u^*(t)}{\partial t^2} - \lambda^2(t) m(t) \frac{\partial u^*(t)}{\partial t} = 0,$$
 (49)

где

$$m(t) = \gamma [1 + \varphi(t)E(t)] - \frac{E'(t)}{E(t)}$$
 (50)

Из условия симметрии имеем

$$u^*(x,t) = 0$$
 при $x = 0$. (51)

В первом уравнении (46), принимая x = a и y = 0, будем иметь

$$\frac{\partial u^*(t)}{\partial x} = \varepsilon(t) \qquad \text{при } x = a. \tag{52}$$

Принимая в первом уравнении (48) $t=\tau_0$, получим

$$\frac{\partial^2 u^*(\tau_0)}{\partial x^2} - \lambda^2(\tau_0) u^*(\tau_0) = 0.$$

Решение последнего уравнения при граничных условиях

$$u^*(x, \tau_0) = 0$$
 при $x = 0$

$$\frac{\partial u^*(x, \tau_0)}{\partial x} = \varepsilon(\tau_0)$$
 при $x = a$

имеет вид

$$u^{*}(x, \tau_{0}) = \frac{\varepsilon(\tau_{0})}{\lambda(\tau_{0})} \frac{\sinh(\tau_{0})x}{\cosh(\tau_{0})a}. \tag{53}$$

Подставляя $t = \tau_0$ в выражение, полученное из дифференцирования по t уравнения (48), получим

$$\left.\frac{\partial^3 u^{\mathrm{s}}(x,t)}{\partial x^2 \partial t}\right|_{t=\tau_0} - \lambda^2(\tau_0) \left. \frac{\partial u^{*}(x,t)}{\partial t}\right|_{t=\tau_0} - \lambda^2(\tau_0) \, \gamma \varphi(\tau_0) \, E(\tau_0) \, u^{*}(x,\tau_0) = 0 \; .$$

Решая это неоднородное дифференциальное уравнение при граничных условиях

$$\left. \frac{\partial u^*(x,t)}{\partial x} \right|_{t=\tau_0} = 0$$
 при $x=0$: $\left. \frac{\partial^a u^*(x,t)}{\partial x \partial t} \right|_{t=\tau_0} = \varepsilon'(\tau_0)$ при $x=a$,

получим

$$\frac{\partial u^{\pi}(x,t)}{\partial t}\Big|_{t=\tau_{0}} = \frac{\gamma \varphi(\tau_{0}) E(\tau_{0}) \varepsilon(\tau_{0}) \lambda(\tau_{0}) x c h \lambda(\tau_{0}) x}{(\lambda 2 \tau_{0}) c h) \tau \lambda_{0} a}$$

$$- \frac{\gamma \varphi(\tau_{0}) E(\tau_{0}) \varepsilon(\tau_{0}) |1 + \lambda(\tau_{0}) a t h \lambda(\tau_{0}) a| s h \lambda(\tau_{0}) x - 2 \varepsilon'(\tau_{0}) s h \lambda(\tau_{0}) a}{2 \lambda(\tau_{0}) c h \lambda(\tau_{0}) a}. (54)$$

Таким образом, рассматриваемая задача сводится к интегрированию дифференционального уравнения (49) при краевых (51), (52) и начальных условиях (53), (54).

Решая уравнения (49) по методу Г. А. Гринберга [4] при краевых и начальных условиях (51)—(54), будем иметь

$$u^*(x,t) = \frac{2}{a} \sum_{n=1}^{\infty} \frac{(-1)^{n+1} u_n^*(t)}{u_n^2 + \lambda^2(\tau_0)} \sin \alpha_n x, \tag{55}$$

где

$$u_n^*(t) = \varepsilon(\tau_0) + \left[\varepsilon'(\tau_0) - \frac{\gamma \varphi(\tau_0) E(\tau_0) \varepsilon(\tau_0) \lambda^2(\tau_0)}{\alpha_n^2 + \lambda^2(\tau_0)} \right] \int_{\tau_0}^{t} e^{-\int_{\tau_0}^{\xi} \tau_n(\tau) d\tau} d\tau + \int_{\varepsilon}^{t} e^{-\int_{\tau_0}^{\xi} \tau_n(\tau) d\tau} d\tau \int_{\varepsilon}^{\xi} e^{-\int_{\tau_0}^{\xi} \tau_n(\tau$$

$$a_n = \frac{(2n-1)\pi}{2a}, \quad n = 1, 2, 3, \dots, \infty$$
 (57)

$$\gamma_n(t) = \frac{\gamma \alpha_n^2 + m(t)\lambda^2(t)}{\alpha_n^2 + \lambda^2(t)}$$
 (58)

3°. Подставляя (55) в (41), находим

$$\tau_x^*(x, t) = \frac{2\beta}{\alpha} \sum_{n=1}^{\infty} \frac{(-1)^{n+1} u_n^*(t)}{a_n^2 + \lambda^2(\tau_0)} \sin \alpha_n x.$$
 (59)

Принимая в первом уравнении (45) v=0, подставляя выражение $\frac{\partial U^*}{\partial x}$ в первое уравнение (42), и преобразуя, получим

$$\begin{split} \frac{1}{E(t)} \left\{ & \ z_x^*(t) + \frac{1}{2h} \left(1 - \frac{3z}{h} \right) \int\limits_x^\theta z_x^*(t) \, dx \ \right\} = z_1(t) + z_2(t)z - z_1 T(t) + \\ & + \int\limits_z^t \left\{ z_x^*(\tau) + \frac{1}{2h} \left(1 - \frac{3z}{h} \right) \int\limits_x^\theta z_x^*(\tau) dx \ \right\} \frac{\partial}{\partial \tau} \delta(t,\tau) \, d\tau. \end{split}$$

Решая полученное интегральное уравнение второго рода типа Вольтерра, находим

$$\tau_x^*(\mathbf{x}, \mathbf{z}, t) = L^*\left[\varepsilon_1(t) + \varepsilon_2(t)\mathbf{z} - \alpha_1 T(t)\right] - \frac{1}{2h}\left(1 - \frac{3\mathbf{z}}{h}\right)\int_{\mathbf{x}}^{a} \tau_x^*(\mathbf{x}, t)d\mathbf{x}, \tag{60}$$

где L^* —следующий оператор:

$$\begin{split} L^*[Q(t)] &= E(\tau_0) |Q(\tau_0) + [Q'(\tau_0) - \gamma \varphi(\tau_0) |E(\tau_0) |Q(\tau_0)] \int\limits_{\tau_0}^t e^{-\int\limits_{\tau_0}^{\tau} \eta(\tau) d\tau} d\tau + \\ &+ \int\limits_{\tau_0}^t |E(\tau) e^{-\int\limits_{\tau_0}^{\tau} \eta(\tau) d\tau} d\tau \int\limits_{\tau_0}^{\tau} e^{\int\limits_{\tau_0}^{\tau} \eta(\xi) d\zeta} |Q''(\xi) + \gamma Q'(\xi)| d\xi, \\ & \eta(t) = \gamma [1 + \varphi(t) |E(t)]. \end{split}$$

Подстановка (59) в (60) дает

$$\sigma_{_{\boldsymbol{x}}}^*(\boldsymbol{x},\boldsymbol{z},t) = L^*[\varepsilon_{_{\boldsymbol{1}}}(t) + \varepsilon_{_{\boldsymbol{2}}}(t)\boldsymbol{z} - \alpha_{_{\boldsymbol{1}}}T(\boldsymbol{z},t)] -$$

$$= -\frac{\beta}{ah} \left(1 - \frac{3z}{h} \right) \sum_{n=1}^{\infty} \frac{(-1)^{n+1} u_n^*(t) \cos \alpha_n x}{\alpha_n^2 + \lambda^2(\tau_0)} \cos \alpha_n x$$
 (61)

По формуле

$$\tau_{xz}^*(t) = \int_z^h \frac{\partial \sigma_x^*(t)}{\partial x} dz$$

н (61) определяем компоненты касательных напряжений

$$\tau_{xz}^*(x, z, t) = -\frac{1}{4} \left(1 - \frac{z}{h}\right) \left(1 + \frac{3z}{h}\right) \tau_x^*(x, t).$$
 (62)

Используя разложения (29), легко показать, что при $t=\tau_0$ упруго-мгновенные решения и решения с учетом ползучести совпадают.

 4° . В частном случае, когда $T(z,t)=T_{\scriptscriptstyle 0}={\rm const},$ формула (61) принимает следующий вид

$$\sigma_{v}^{*}(x,z,t) = -\frac{\beta}{\alpha h} \left(1 - \frac{3z}{h}\right) \sum_{n=1}^{\infty} \frac{(-1)^{n+1} u_{n}^{*}(t)}{\sigma_{n}^{2} + \lambda^{2}(\tau_{0})} \frac{\cos \alpha_{n} x}{\sigma_{n}}, \quad (63)$$

тле

$$u_n^*(t) = \alpha_1 T_0 \left[1 - \frac{7 \varphi(\tau_0) E(\tau_0) \lambda^2(\tau_0)}{\alpha_n^2 + \lambda^2(\tau_0)} \frac{1 - e^{-\tau_n (t - \tau_0)}}{\tau_n} \right]$$
 (64)

Причем в выражении 7, принято

$$E(t) \approx \frac{1}{t - \tau_0} \int_{\tau_0}^{t} E(\tau) d\tau = E_0 \left[1 - \frac{e^{-\tau_0} - e^{-\tau t}}{\alpha (t - \tau_0)} \right],$$

$$\varphi(t) \approx \frac{1}{t - \tau_0} \int_{\tau_0}^{t} \varphi(\tau) d\tau = C_0 + A_1 \frac{\ln \frac{t}{\tau_0}}{t - \tau_0}.$$
(65)

Вид формул (59) и (62) остается неизменным, но под $u_n^*(t)$ понимается выражение (64). Из (62)—(64) следует, что компоненты напряжения в блоке по величине монотонно убывают, стремясь при $t \to \infty$ к своим минимальным значениям.

5°. Здесь рассмотрен тот случай, когда распределение температуры в блоке меняется дишь по высоте. Однако вышеизложенным путем легко можно получить решение и в том случае, когда имеем симметричное, относительно горизонтальных осей, распределение температуры. В таком случае к правым частям уравнений (9) и (47) соответственно прибавляются члены

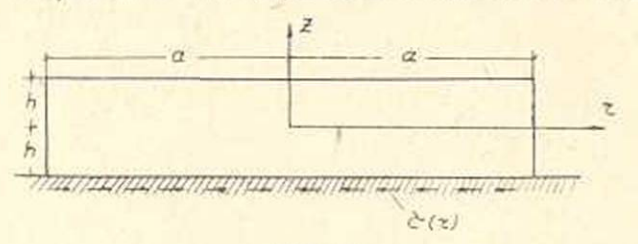
$$(1 + v) \frac{\partial \varepsilon(x, y, t)}{\partial x}$$
, $(1 + v) \frac{\partial \varepsilon(x, y, t)}{\partial y}$.

Общий ход решения этой более общей задачи остается неизменным.

§ 3. Термо-упругое напряженное состояние круглого бетонного блока

1°. В этом параграфе рассматриваем напряженное состояние круглого бетонного блока (фиг. 2) высотой 2h, радиусом r=a, лежащего на сплошном упругом основании, вызванное температурным воздействием T=T(z,t), меняющимся по высоте и по времени. При таком законе распределения температуры возникающие в блоке тем-

пературные деформации будут осесимметричны, и, следовательно, компоненты напряжения и деформации не зависят от полярного угла.



Фиг. 2.

В основании блока возникают радиальные тангенциальные напряжения т(r), которые будут препятствовать свободным температурным деформациям. Полагаем

$$z(r) = \beta u(r),$$
 (66)

где u(r) — радиальные перемещёния точки основания блока. Пренебрегая компонентом ε_z (r, z), для остальных нормальных компонентов напряжения будем иметь

$$\sigma_r(r,z) = \frac{E}{1-\nu^2} \left[\frac{\partial U(r,z)}{\partial r} + \nu \frac{U(r,z)}{r} \right] - \frac{E\alpha_1 T(z)}{1-\nu} ,$$

$$\sigma_{\tau}(r,z) = \frac{E}{1-\nu^2} \left[\frac{U(r,z)}{r} + \nu \frac{\partial U(r,z)}{\partial r} \right] - \frac{E\alpha_1 T(z)}{1-\nu} .$$
(67)

Для поставленной осесимметричной задачи вводим гипотезу: коаксиальные круговые цилиндрические поверхности до деформации превращаются в коаксиальные круговые конические поверхности в течение деформации, т. е.

$$\frac{\partial U(r,z)}{\partial r} = A(r) + B(r)z, \tag{68}$$

где A(r) и B(r) — неизвестиые пока функции от r.

Написав условия равновесия части блока $(r \leqslant \xi \leqslant a, -\varphi \leqslant \theta \leqslant \varphi, -h \leqslant z \leqslant h)$ и сделав некоторые упрощения, получим уравнения равновесия блока в следующем виде

$$\int_{r}^{a} \int_{-h}^{h} \sigma_{\varphi}(r,z) drdz + r \int_{-h}^{h} \sigma_{r}(r,z) dz + \int_{r}^{a} \tau(r) r dr = 0,$$

$$\int_{r}^{a} \int_{-h}^{h} \sigma_{\varphi}(r,z) z dr dz + r \int_{-h}^{h} \sigma_{r}(r,z) z dz - h \int_{r}^{a} \tau(r) r dr = 0.$$

$$\int_{r}^{h} \tau_{rz}(r,z) dz = 0.$$
(69)

Из условия равновесия элемента блока zrdrdф находим

$$\tau_{rz}(r,z) = \int_{z}^{R} \left[\frac{\partial \sigma_{r}(r,z)}{\partial r} + \frac{\sigma_{r}(r,z) - \sigma_{\psi}(r,z)}{r} \right] dz.$$
(70)

2°. Интегрируя (68) при краевом условни

$$U(0, z) = 0,$$
 (71)

получим

$$U(r,z) = \int_{0}^{r} |A(r) + B(r)z| dr.$$
 (72)

Из (67), (68) и (69) следует уравнение

$$\int_{r}^{\theta} \left\{ \left(v \frac{\partial U}{\partial r} + \frac{U}{r} - (1+v) \left(\varepsilon_{1} + \varepsilon_{2} z \right) \right) dr + r \left\{ \frac{\partial U}{\partial r} + v \frac{U}{r} - \frac{U}{r} \right\} \right\} dr$$

$$-\left(1+\gamma\right)\left(\varepsilon_{1}+\varepsilon_{2}z\right)+\frac{1-\gamma^{2}}{2Eh}\left(1-\frac{3z}{h}\right)\int_{r}^{u}\tau(r)rdr=0. \tag{73}$$

Дифференцируя полученное уравнение по r, приходим к неоднородпому дифференциальному уравнению Эйлера

$$r^{2} \frac{\partial^{2} U}{\partial r^{2}} + r \frac{\partial U}{\partial r} - U = \frac{1 - v^{2}}{2Eh} \left(1 - \frac{3z}{h} \right) r^{2} \gamma(r). \tag{74}$$

выражающему зависимость между радиальными перемещениями произвольной точки блока U(r,z) и касательными напряжениями $\tau(r)$, действующими в контакте.

Принимая в (73) r = a, наряду с (71), получим второе краевое условие

$$\left(r\frac{\partial U}{\partial r} + \nu U\right)_{r=a} = (1+\nu)\left(\varepsilon_1 + \varepsilon_2 z\right) a. \tag{75}$$

Принимая в (74) z = -h и учитывая допущение (66), приходим к уравнению Бесселя

$$r^{2} \frac{\partial^{2} u}{\partial r^{2}} + r \frac{\partial u}{\partial r} - (1 + \lambda^{2} r^{2}) u = 0, \tag{76}$$

причем

$$\lambda = \sqrt{\frac{2(1+\nu)\beta}{Eh}}.$$

Решение дифференциального уравнения (76) при краевых условиях

$$u(0) = 0,$$

$$\left(r\frac{\partial u}{\partial r} + vu\right)_{r=a} = (1+v)\,\varepsilon a,$$

вытекающее из (71) и (75) при z=-h, имеет вид

$$u(r) = \frac{(1+v)a\varepsilon I_1(\lambda r)}{\lambda a I_0(\lambda a) - (1-v)I_1(\lambda a)},$$
 (77)

где $I_{\rm I}(x)$ бесселевы функции первого порядка от миимого аргумента. Согласно принятой гипотезе (68) U(r,z) является линейной функцией от z. Следовательно, наряду с U(r,-h)=u(r) наличие второго значения $U(r,z_0)=u_{\rm 0}(r)$ полностью определяет функцию U(r,z). Принимая в (74) $z=\frac{1}{3}$ h, получим однородное уравнение Эйлера

$$r^{1} \frac{\partial^{2} u_{0}}{\partial r^{2}} + r \frac{\partial u_{0}}{\partial r} - u_{0} = 0.$$

Решая полученное уравнение при краевых условиях

$$\begin{split} u_{\mathbf{0}}(0) &= 0, \\ \left(r \frac{\partial u_{\mathbf{0}}}{\partial r} + v u_{\mathbf{0}} \right)_{r=\mathbf{0}} &= (1+v) \epsilon_{\mathbf{0}} a, \end{split}$$

где

$$\varepsilon_{s} = \frac{\alpha_{1}}{2h} \int_{-h}^{h} T(z) \left(1 + \frac{z}{h}\right) dz,$$

находим

$$u_o(r) = \varepsilon_o r$$
. (78)

Тогда решение исходного уравнения (74) будет

$$U(r,z) = \frac{3}{4} \varepsilon_{\mathbf{0}} \left(1 + \frac{z}{h} \right) r + \frac{1}{4} \left(1 - \frac{3z}{h} \right) \frac{(1+v)a\varepsilon I_{\mathbf{1}}(\lambda r)}{\lambda a I_{\mathbf{0}}(\lambda a) - (1-v)I_{\mathbf{1}}(\lambda a)} , \quad (79)$$

 3° . Подставляя выражение перемещения U(r,z) из (79) в (67), получим компоненты нормальных напряжений

$$z_r(r, z) = \frac{E}{1 - \tau} \left[\frac{3}{4} z_{\theta} \left(1 + \frac{z}{h} \right) - z_i T(z) + \frac{1}{4} z_{\theta} \left(1 - \frac{3z}{h} \right) \frac{\lambda r I_{\theta} (\lambda r) - (1 - \tau) I_{\lambda}(\lambda r)}{\lambda a I_{\theta} (\lambda a) - (1 - \tau) I_{\lambda}(\lambda a)} \frac{a}{r} \right],$$

$$z_r(r, z) = \frac{E}{1 - \tau} \left[\frac{3}{4} z_{\theta} \left(1 + \frac{z}{h} \right) - z_i T(z) + \frac{1}{4} z_{\theta} \left(1 - \frac{3z}{h} \right) \frac{\partial r I_{\theta} (\lambda r) + (1 - \tau) I_{\lambda}(\lambda r)}{\lambda a I_{\theta} (\lambda a) - (1 - \tau) I_{\lambda}(\lambda a)} \frac{a}{r} \right].$$
(80)

Из (66) и (77) следует

$$z(r) = \frac{(1+\gamma)\beta az I_1(\lambda r)}{iaI_0(ia) - (1-\gamma)I_1(\lambda a)}.$$
 (81)

Используя полученные формулы (80) или (67), из (70) получим

$$\tau_{r2}(r, z) = -\frac{1}{4} \left(1 + \frac{z}{h}\right) \left(1 + \frac{3z}{h}\right) \tau(r).$$
 (82)

Заметим, что при $r \to 0$ из (80) будем иметь

$$z_r(0, z) = z_r(0, z) = \frac{E}{1-\tau} \left[\frac{3}{4} z_0 \left(1 + \frac{z}{h} \right) - z_1 T(z) + \frac{1}{8} z \left(1 - \frac{3z}{h} \right) \frac{(1+\tau)\lambda az}{\lambda a I_0(\lambda a) - (1-\tau)I_1(\lambda a)} \right],$$
 (83)

причем при раскрытии встречающихся неопределенностей использовани правила Лопиталя.

 4^c . В частном случае, когда $T(z) = T_0 = {\rm const.}$ формулы (79), (80). (81) напашутся в виде

$$\begin{split} &U(r,z) = z_1 \, T_0 \left[\frac{3}{4} \left(1 + \frac{z}{h} \right) r + \left(1 - \frac{3z}{h} \right) \frac{(1+v)aI_1(\lambda r)}{\kappa aI_0(\lambda a) - (1-v)I_1(\lambda a)} \right] \,, \, (84) \\ &z_r(r,z) = - \, \frac{1}{4} \, \frac{Ez_1 T_0}{1-v} \left(1 - \frac{3z}{h} \right) \left[1 - \frac{\kappa rI_0(\lambda r) - (1-v)I_1(\lambda r)}{\kappa aI_0(\lambda a) - (1-v)I_1(\lambda a)} \, \frac{a}{r} \right] \,, \\ &z_r(r,z) = - \, \frac{1}{4} \, \frac{Ez_1 T_0}{1-v} \left(1 - \frac{3z}{h} \right) \left[1 - \frac{v \kappa rI_0(\lambda r) + (1-v)I_1(\lambda r)}{\kappa aI_0(\lambda a) - (1-v)I_1(\lambda a)} \, \frac{a}{r} \right] \,, \end{split}$$

$$z(r) = \frac{(1+\gamma)\beta a\alpha_1 T_0 I_1(\lambda r)}{\lambda a I_0(\lambda a) - (1-\gamma)I_1(\lambda a)}$$
 (86)

При $r \to 0$ из (83) имеем

$$z_r(0, z) = z_r(0, z) =$$

$$= -\frac{1}{4} \frac{E z_1 T_0}{1 - r} \left(1 - \frac{3z}{h}\right) \left[1 - \frac{1}{2} \frac{(1 + r)\lambda a}{ra I_0(\lambda a) - (1 - r)I_1(\lambda a)}\right]. \quad (87)$$

Из (85) сдедует, что в рассматриваемом случае нейтральная плоскость блока определяется уравнением

$$z_0 = \frac{1}{3} h$$

Анализируя формулы (84)—(87) заключаем, что $z_r(r,z)$ отлична от нуля везде в блоке, кроме нейтральной плоскости, а $z_r(r,z)$ ображается в нуль как в указанной плоскости, так и в торцах блока r = a. По раднусу максимальные нормальные напряжения по величине достигнотся при r = 0. От центра вплоть до торцов эти напряжения мовотонно уменьшаются. По высоте блока величины обеих компонент напряжения в два раза больше на основании, чем на верхием краскак следует из (82) в (86), касательное напряжение по высоте достигает своего наибольшего значения при z = -h, а по раднусу — при

r=a. На нейтральной плоскости радиальные перемещения определяются формулой

$$U\left(r,\frac{1}{3}\ h\right) = a_1 T_6 r \cdot$$

Ниже приведены некоторые числовые значения касательных и нормальных компонент напряжения для основания блока при $h=\frac{1}{4}\;a=$

= 1 m,
$$\beta$$
 = 100 ke/cm³, E = 1,1366 ke/cm², ν = $\frac{1}{6}$.

Таблица I Значение z(r), z_r (r, -h) и z_q (r, -h), вычисленное по (85)—(87).

r/a	Ü	0,25	0,50	0,75	1,00
$\frac{\overline{z(r)}}{E^{2}_{1}T_{0}}$	n,0000	0,0425	0,0905	0,1503	0,2301
$\frac{(1-v)\varepsilon_r(r,-h)}{Es_1T_0}$	0,5273	0,4995	0,4124	0,2534	0,0000
$-\frac{(1-v)\sigma_{\varphi}(r,-h)}{E\alpha_{1}T_{0}}$	0,5273	0,5143	0,4735	0,4009	0,2884

§ 4. Термонапряженное состояние круглого бетонного блока с учетом ползучести

 Задачу, рассмотренную в предыдущем параграфе, решим теперь с учетом свойства ползучести материала. Подобно предыдущим предположениям, в контакте блока и его основании будем полагать

$$\tau^*(r, t) = \beta u^*(r, t).$$
 (88)

Зависимость между компонентами напряжения и доформации в произвольной точке блока $|z_z^*(r,z,t)\approx 0|$ имеет следующий вид:

$$\frac{\partial U^*(t)}{\partial r} = \alpha_1 T(t) + \frac{1}{E(t)} \left[\sigma_r^*(t) - \nu \sigma_\varphi^*(t) \right] - \\
- \int_{z_r}^{t} \left[\sigma_r^*(\tau) - \nu \sigma_\varphi^*(\tau) \right] \frac{\partial}{\partial \tau} \, \delta(t, \tau) \, d\tau, \\
\frac{U^*(t)}{r} = \alpha_1 T(t) + \frac{1}{E(t)} \left[\sigma_\varphi^*(t) - \nu \sigma_r^*(t) \right] - \\
- \int_{z_r}^{t} \left[\sigma_\varphi^*(\tau) - \nu \sigma_r^*(\tau) \right] \frac{\partial}{\partial \tau} \, \delta(t, \tau) \, d\tau. \tag{89}$$

Аналогично гипотезе о деформируемости круглых блоков, введенной в предыдущем параграфе, примем

$$\frac{\partial U^{*}(r, z, t)}{\partial r} = A^{*}(r, t) + B^{*}(r, t) z,$$
 (90)

тде $A^*(r,t)$ и $B^*(r,t)$ — неизвестные функции от r и t. Уравнение равновесия имеет следующий вид:

$$\int_{x}^{a} \int_{h}^{h} z_{z}^{*}(t) dr dz - r \int_{-h}^{h} z_{z}^{*}(t) dz + \int_{x}^{a} z^{*}(t) r dr = 0, \int_{h}^{h} z_{zz}^{*}(t) dz = 0.$$

$$\int_{x}^{a} \int_{-h}^{h} z_{z}^{*}(t) z dr dz + r \int_{-h}^{h} z_{z}^{*}(t) z dz - h \int_{x}^{a} z^{*}(t) r dr = 0.$$
(91)

Для касательного напряжения, аналогичным образом, получим формулу

$$z_{rz}^{*}(t) = \int_{s}^{t} \left[\frac{\partial z_{r}^{*}(t)}{\partial r} + \frac{\sigma_{r}^{*}(t) - \sigma_{z}^{*}(t)}{r} \right] dz, \tag{92}$$

Интегрируя (90) ири условин

$$U^*(0, z, t) = 0,$$
 (93)

будем иметь

$$U^*(r,z,t) = \int_0^t |A^*(r,t) + B^*(r,t)z| dr.$$
 (94)

Из (89), (90), (91) и (94) следует

$$\int_{r}^{a} \left\{ \gamma \frac{\partial U^{*}(t)}{\partial r} + \frac{U^{*}(t)}{r} - \frac{1}{r} \right\} dr + r \left\{ \frac{\partial U^{*}(t)}{\partial r} + \gamma \frac{U^{*}(t)}{r} - \frac{1}{r} \right\} dr + r \left\{ \frac{\partial U^{*}(t)}{\partial r} + \gamma \frac{U^{*}(t)}{r} - \frac{1}{r} \right\} dr + r \left\{ \frac{\partial U^{*}(t)}{\partial r} + \gamma \frac{U^{*}(t)}{r} - \frac{1}{r} \right\} dr + r \left\{ \frac{\partial U^{*}(t)}{\partial r} + \gamma \frac{U^{*}(t)}{r} - \frac{1}{r} \right\} dr + r \left\{ \frac{\partial U^{*}(t)}{\partial r} + \gamma \frac{U^{*}(t)}{r} - \frac{1}{r} \right\} dr + r \left\{ \frac{\partial U^{*}(t)}{\partial r} + \gamma \frac{U^{*}(t)}{r} - \frac{\partial U^{*}(t)}{r} - \frac{\partial U^{*}($$

После дифференцирования по r приводим его к виду

$$r^{2} \frac{\partial^{2} U^{*}(r,z,t)}{\partial r^{2}} + r \frac{\partial U^{*}(r,z,t)}{\partial r} - U^{*}(r,z,t) =$$

$$= \frac{1 - \sqrt{\epsilon}}{2h} \left(1 - \frac{3z}{h}\right) r^{2} \left\{\frac{z^{*}(r,t)}{E(t)} - \int_{z_{d}}^{t} z^{*}(r,z) \frac{\partial}{\partial z} \delta(t,z) dz\right\}. \tag{96}$$

Наряду с (93) из (95), принимая r = a, получим второе краевое условне

$$\left(r\frac{\partial U^*}{\partial r} + \nu U^*\right)_{r\to u} = \left(1 + \nu\right)\left(\varepsilon_1 + \varepsilon_2 z\right) a. \tag{97}$$

Для основания блока уравнение (96) принимает вид

$$r^{2}\frac{\partial^{2}u^{\oplus}(r,t)}{\partial r^{2}}+r\frac{\partial u^{\oplus}(r,t)}{\partial r}-u^{*}(r,t)=$$

$$=i^{2}(t)r\left[\dot{a}^{*}(r,t)-\int_{\tau_{a}}^{t}u^{*}(r,\tau)E(t)\frac{\partial}{\partial\tau}\dot{\delta}(t,\tau)\,d\tau\right]. \tag{98}$$

Краевые условия для полученного интегро-дифференциального уравнения следуют из (93) и (97)

$$u^*(0, t) = 0$$

$$\left(r\frac{\partial u^*}{\partial r} + u^*\right)_{r=a} = (1 + \epsilon) \epsilon a. \tag{99}$$

2. Можно получить решение уравнения (98), приводя его к дифференциальным уравнениям четвертого порядка в частных производных, как это делалось в § 2 для соответствующего уравнения прямоугольного блока. Но здесь проведем решение несколько иным, и, как нам кажется, более эффективным путем.

Подставляя в уравнение (98)

$$u^*(r,t) = \Phi(r) \, \Psi(t)$$

и разделяя переменные, находим

$$\frac{r^2\Phi''(r)+r\Phi'(r)-\Phi(r)}{r^2\Phi(r)}=$$

$$=\frac{\kappa^{2}(t)\left[\Psi(t)-\int_{z_{0}}^{t}\Psi(z)E(t)\left[\frac{\partial}{\partial z}\left[\delta(t,z)\right]dz\right]\right]}{\Psi(t)}=-\alpha^{2}$$

где ж - неопределенная, пока, положительная постоянная.

Решение уравнения

$$r^2\Phi''(r) + r\Phi'(r) + [a^2r^2 - 1]\Phi(r) = 0$$
 (100)

при краевых условиях

$$\Phi(0) = 0,$$

 $a\Phi'(a) + \nu\Phi(a) = 0,$ (101)

имеет вил

$$\Phi_{a}(r) = C_{a}J_{1}\left(\frac{p_{a}}{a} r\right), \qquad (102)$$

где $\rho_n = \alpha_n \, a$ — положительные корни уравнения

$$pI_1(p) + vI_1(p) = 0,$$
 (103)

Для удобства C_n выберем так, чтобы система собственных функций $|\Phi_n(r)|$ была вормированиой, т. е.

$$C_{\theta}^{2} = \frac{2\left(\frac{\rho_{\theta}}{a}\right)^{2}}{\left(\rho_{\theta}^{2} - 1 + \nu^{2}\right)J_{1}^{2}\left(\rho_{\theta}\right)}.$$
(104)

Решение (98) будем искать в виде ряда Дини [6]

$$u^{*}(r, t) = \sum_{n=1}^{\infty} u_{n}(t)\Phi_{n}(r),$$
 (105)

тде

$$u_n(t) = \int_0^a ru^*(r, t)\Phi_n(r) dr.$$
 (106)

Видоизменяя уравнение (98), умножая члены обсих частей на $\Phi_n(r)$, интегрируя по r от нуля до a, сделав преобразование и используя (99), (100), (101), (106), приходим к следующему интегральному уравнению второго рода типа Вольтерра

$$u_{n}\left(t\right) = \frac{(1+v)a\Phi_{n}\left(a\right)\varepsilon\left(t\right)}{\alpha_{n}^{2}+\lambda^{2}\left(t\right)} + \int_{\varepsilon}^{t} u_{n}\left(\varepsilon\right)\frac{\partial}{\partial \varepsilon} \,\Omega_{n}\left(t,\varepsilon\right)\,d\varepsilon,\tag{107}$$

где

$$\Omega_n(t,z) = \frac{E(t)\lambda^2(t)\delta(t,z)}{\alpha_n^2 + \lambda^2(t)}.$$

Уравнение (107) преобразованием и двухкратным дифференцированием приводится к дифференциальному уравнению

$$\frac{d^{2}u_{n}(t)}{dt^{2}} + \gamma_{n}(t) \frac{du_{n}(t)}{dt} = \frac{(1 + \tau)a\Phi_{n}(a)}{\sigma_{n}^{2} + \kappa^{2}(t)} [\varepsilon''(t) + \gamma\varepsilon'(t)], \quad (108)$$

тде

$$\gamma_n(t) = \frac{\gamma x_n^2 + m(t)\lambda^2(t)}{x_n^2 + \lambda^2(t)}$$

с начальными условиями

$$u_{n}(\tau_{0}) = \frac{(1 + \tau)a\Phi_{n}(a)}{\alpha_{n}^{2} + \lambda^{2}(\tau_{0})} \epsilon(\tau_{0}),$$

$$u_{n}(\tau_{0}) = \frac{(1 + \tau)a\Phi_{n}(a)}{\alpha_{n}^{2} + \lambda^{2}(\tau_{0})} \left[\epsilon'(\tau_{0}) - \frac{\tau\varphi(\tau_{0})E(\tau_{0})\lambda^{2}(\tau_{0})}{\alpha_{n}^{2} + \lambda^{2}(\tau_{0})} \epsilon(\tau_{0})\right]. \quad (109)$$

Решая уравнение (108) при условиях (109) и подставляя найценное значение $u_n(t)$ в (105), будем иметь

$$u^*(r,t) = 2(1+\nu)a\sum_{n=1}^{\infty} \frac{\rho_n^2 u_n^*(t)}{(!\rho_n^2 - 1 + \nu^2)[\rho_n^2 + \lambda^2(\tau_0)a^2]} \frac{J_1\left(\frac{\rho_n}{a} r\right)}{J_1\left(\rho_n\right)}, \quad (110)$$

где

$$\begin{split} & u_{n}^{*}(t) = \varepsilon(\tau_{0}) + \left[\varepsilon'(\tau_{0}) - \frac{\gamma \varphi(\tau_{0}) E(\tau_{0}) \lambda^{2}(\tau_{0}) a^{2}}{\rho_{n}^{2} + \lambda^{2}(\tau_{0}) a^{2}} \right] \int_{\tau_{0}}^{t} e^{-\int_{\tau_{0}}^{t} \tau_{n}(z) dz} dz + \\ & + \int_{\tau_{0}}^{t} e^{-\int_{\tau_{0}}^{t} \tau_{n}(z) dz} dz \int_{\tau_{0}}^{t} e^{\int_{\tau_{0}}^{t} \tau_{n}(z) dz} \frac{\rho_{n}^{2} + \lambda^{2}(\tau_{0}) a^{2}}{\rho_{n}^{2} + \lambda^{2}(\xi) a^{2}} \left[\varepsilon''(\xi) + \gamma \varepsilon'(\xi)\right] d\xi. \end{split}$$
(111)

Для определения радиального перемещения в произвольной точ ке $U^*(r,z,t)$ поступим так, как это сделали в предыдущем параграф при определении U(r,z). Принимая в (96), (93), (97) z=-h и обозначая $U^*(r,\frac{1}{3}h,t)=u_0^*(r,t)$, получим однородное уравнение Эйлег

$$r^{2}\frac{\partial^{2}u_{0}^{*}(r,t)}{\partial r^{2}}+r\frac{\partial u_{0}^{*}(r,t)}{\partial r}-u_{0}^{*}(r,t)\!=\!0.$$

при краевых условиях

$$u_0^*(0, t) = 0,$$

$$\left(r \frac{\partial u_0^*}{\partial r} + \nu u_0^*\right)_{r=a} = (1 + \nu)\varepsilon_0 a,$$

решение которого имеет вид

$$u_0^*(r,t) = \varepsilon_0(t) r. \tag{113}$$

Тогда

$$U^{*}(r, z, t) = \frac{3}{4} \left(1 + \frac{z}{h} \right) \varepsilon_{0}(t) r + \frac{(1+v)a}{2} \left(1 - \frac{3z}{h} \right) \sum_{i=0}^{\infty} \frac{\varrho_{n}^{2} u_{n}^{*}(t)}{|\varrho_{n}^{2} - 1 + v^{2}| |\varrho_{n}^{2} + \lambda^{2}(\varepsilon_{0})a^{2}|} \frac{J_{1}(\frac{\varrho_{n}}{a} r)}{J_{1}(\varrho_{n})}, \quad (113)$$

3°. Для определения нормальных компонент напряжений над исходить из соотношений (89). Непосредственная подставка U*(r, z, t из (113) в (89) приводит к более сложным выражениям. По этому при помощи уравнения (107) формуле (113) дадим следую щий вид

$$U^{*}(r,z,t) = \frac{3}{4} \left(1 + \frac{z}{h}\right) \varepsilon_{0}(t) r + \frac{(1+\gamma)\varepsilon(t)a}{2} \left(1 - \frac{3z}{h}\right) \sum_{n=1}^{\infty} \frac{\Phi_{n}(a) \Phi_{n}(r)}{z_{n}^{2}} - \frac{\beta(1-\gamma^{2})}{2h} \left(1 - \frac{3z}{h}\right) \sum_{n=1}^{\infty} \frac{\Phi_{n}(r)}{z_{n}^{2}} \left[\frac{u_{n}(t)}{E(t)} - \int_{-1}^{t} u_{n}(\tau) \frac{\partial}{\partial \tau} \delta(t,\tau) d\tau\right]. \quad (114)$$

Раздагая r в ряд Дини по системе функций $\{\Phi_a(r)\}$, подучим

$$\sum_{n=1}^{\infty} \frac{\Phi_n(a) \Phi_n(r)}{\alpha_n^2} = \frac{1}{2(1+n)} \frac{r}{a}.$$
 (115)

Подставляя значения ряда (115) в (114), а последнего в первое уравнение (42) и делая некоторые перестановки, получим интегральное уравнение Вольтерра

$$\begin{split} &\sigma_{r}^{\prime}(r,z,t) + \frac{\beta}{2h}\left(1 - \frac{3z}{h}\right)\sum_{n=1}^{\infty}\frac{\Phi_{n}^{\prime}(r) + \frac{\gamma}{r}\cdot\Phi_{n}\left(r\right)}{\alpha_{n}^{2}}u_{n}\left(t\right) = \\ &= \frac{E(t)}{1 - \gamma}\left[\frac{3}{4}\left(1 + \frac{z}{h}\right)\varepsilon_{0}(t) + \frac{1}{4}\left(1 - \frac{3z}{h}\right)\varepsilon(t) - \alpha_{1}\left(t,t\right)\right] + \\ &+ E(t)\int_{\gamma_{n}}^{t}\left[\sigma_{r}^{\prime}(r,z,\tau) + \right. \\ &+ \left.\left.\left.\left(1 - \frac{3z}{h}\right)\sum_{n=1}^{\infty}\frac{\Phi_{n}^{\prime}(r) + \frac{\gamma}{r}\cdot\Phi_{n}\left(r\right)}{\alpha_{n}^{2}}u_{n}\left(\tau\right)\right]\frac{\partial}{\partial\tau}\delta(t,\tau)\,d\tau, \end{split}$$

решение которого окончательно можно представить в виде

$$\sigma_r^*(r, z, t) = \frac{1}{1 - \gamma} L^* \left[\frac{3}{4} \left(1 + \frac{z}{h} \right) \varepsilon_0(t) + \frac{1}{4} \left(1 - \frac{3z}{h} \right) \varepsilon(t) - \alpha_1 T(zt) \right] - \frac{\beta a^2 (1 + \gamma)}{h} \left(1 - \frac{3z}{h} \right) \sum_{n=1}^{\infty} \frac{\rho_n J_0 \left(\frac{\rho_n}{a} r \right) - \frac{1 - \gamma}{r} J_1 \left(\frac{\rho_n}{a} r \right)}{\left(\rho_n^2 - 1 + \gamma^2 \right) \left(\rho_n^2 + \lambda^2 (\tau_0) a^2 \right)} u_n(t). \quad (116)$$

Из второго уравнения (42) и (114)-(115) аналогичным путем получим

$$\sigma_{\psi}^{*}(r,z,t) = \frac{1}{1-\gamma}L^{*}\left[\frac{3}{4}\left(1+\frac{z}{h}\right)\varepsilon_{0}(t) + \frac{1}{4}\left(1-\frac{3z}{h}\right)\varepsilon(t) - \alpha_{1}T(z\,t)\right] - \frac{\beta a^{2}(+\gamma)}{h}\left(1-\frac{3z}{h}\right)\sum_{n=0}^{\infty}\frac{\gamma\rho_{n}J_{0}\left(\frac{\rho_{n}}{a}\,r\right) + \frac{1-\gamma}{r}J_{1}\left(\frac{\rho_{n}}{a}\,r\right)}{\left(\rho_{n}^{2}-1+\gamma^{2}\right)\left[\rho_{n}^{2}+\lambda^{2}(\tau_{0})a^{2}\right]}u_{n}(t). \quad (117)$$

Остается определить $z_{el}^*(r,z,t)$. Из соотношений (42) и (96) следует

$$\frac{\partial \bar{\sigma}_r^*(t)}{\partial r} + \frac{\sigma_u^*(t) - \sigma_v^*(t)}{r} = \frac{1}{2h} \left(1 - \frac{3z}{h} \right) \tau^*(t), \tag{118}$$

$$\tau^*(r,t) = 2\beta a(1+\nu) \sum_{q=1}^{\infty} \frac{\rho_{\pi}^2 u_{\alpha}^*(t)}{(\rho_{\alpha}^2 + 1 - \nu^2) \left[\rho_{\alpha}^2 + \lambda^2(\tau_a) a^2 \right]} \frac{J_{\gamma} \left(\frac{\theta_{\alpha}}{a} r \right)}{J(\rho_{\alpha})}. \quad (119)$$

Подставдяя (118) в (92), находим

$$\tau_{\rm C}'(r,z,t) = -\left.\frac{1}{4}\left(1-\frac{z}{h}\right)\left(1+\frac{3z}{h}\right)\tau^{\rm s}(r,t).$$

Отметим, что последняя формула получается также из (116), (117) и (92).

При $r \to 0$ из (116) и (117) следует

$$\begin{split} \sigma_{r}^{*}(0,z,t) &= \sigma_{z}^{*}(0,z,t) = \frac{1}{1-\tau} L^{s} \left[\frac{3}{4} \left(1 + \frac{z}{h} \right) \epsilon_{\theta}(t) + \right. \\ &+ \left. \frac{1}{4} \left(1 - \frac{3z}{h} \right) \epsilon_{t}(t) - a_{1} T(z,t) \right] - \\ \frac{3a^{2}(1+\tau)^{2}}{2h} \left(1 - \frac{3z}{h} \right) \sum_{n=1}^{\infty} \frac{\rho_{n}}{\left(\rho_{n}^{2} - 1 + \tau^{2} \right) \left(\rho_{n}^{2} + \lambda^{2}(z_{0})a^{2} \right)} u_{n}^{*}(t). \end{split}$$

Разлагая $I_1(\lambda r)$ в ряд Дини по собственным функциям $\left\{J_1\left(\frac{\rho_n}{a} \ r\right)\right\}$ в определяя значения интеграла

$$\int\limits_0^r r I_1(\lambda r) J_1(\alpha_n r) \, dr = \frac{\lambda r \, I_0(\lambda r) J_1\left(\alpha_n r\right) - \alpha_n \, r J_0\left(\alpha_n r\right) \, I_1\left(\lambda r\right)}{\alpha_n^2 + \lambda^2} \, . \label{eq:final_state}$$

по методу определения интегралов Ломелля, получим

$$\sum_{n=1}^{\infty} \frac{2\rho_n^2}{\left(\rho_n^2 + \lambda^2 a^2\right)\left(\rho_n^2 - 1 + v^2\right)} \frac{J_1\left(\frac{\rho_n}{a} r\right)}{J_1(\rho_n)} = \frac{I_1(\lambda r)}{\lambda a I_0(\lambda a) - (1-v)I_1(\lambda a)}, \quad (120)$$

Используя разложение (120), из (114), (116) и (117) заключаем, что при $t=\tau_0$ упруго-мгновенное решение (§ 3) и решение с учетом ползучести (§ 4) совпадают.

4°. В частном случае, когда $T(z,t)=T_{\rm o}={\rm const.}$ из (116), (117) и (111) следует

$$\sigma_r(r, z, t) =$$

$$-\frac{\beta a^{2}\left(1+\tau\right)}{h}\left(1-\frac{3z}{h}\right)\sum_{n=1}^{\infty}\frac{\beta_{n}J_{n}\left(\frac{\beta_{n}}{a}r\right)-\frac{1-\tau}{r}J_{1}\left(\frac{\beta_{n}}{a}r\right)}{\left(\beta_{n}^{2}-1+\tau^{2}\right)\left[\beta_{n}^{2}+\lambda^{2}(\varsigma_{0})a^{2}\right]}u_{n}^{*}(t),$$

$$\sigma_{n}^{*}(r, z, t) =$$

$$-\frac{3a^2(1+\gamma)}{h}\left(1-\frac{3z}{h}\right)\sum_{n=1}^{\infty}\frac{\gamma\rho_nJ_0\left(\frac{\rho_n}{a}r\right)+\frac{1-\gamma}{r}J_1\left(\frac{\rho_n}{a}r\right)}{\left(\rho_n^2-1+\gamma^2\right)\left[\rho_n^2+\lambda^2(\tau_0)a^2\right]}u_n^*(t); \quad (121)$$

$$u_{_H}^*(t) = \alpha_1 T_0 \left[1 - \frac{\gamma \pi(\tau_0) E(\tau_0) \lambda^2(\tau_0) a^2}{\varphi_a^2 + \lambda^2(\tau_0) a^2} \frac{1 - e^{-\tau_H (t - \tau_0)}}{\tau_H} \right].$$
 (122)

Причем при получении последней формулы использованы приближенные формулы (65).

Вид формулы (119) остается неизменным, но под $u_n^*(t)$ сдедует понимать (122).

При $r \to 0$ имеем

$$\sigma_r^*(0, z, t) = \sigma_{\varphi}^*(0, z, t) = \frac{\beta a^2 (1+\gamma)^2}{2h} \left(1 - \frac{3z}{h}\right) \sum_{n=1}^{\infty} \frac{\rho_n}{\left(\rho_n^2 - 1 + \gamma^2\right) \left[\rho_n^2 + \lambda^2(\tau_0) a^2\right]} u_n^*(t).$$

Приведем результаты численных примеров для тех же значений параметров, использованных в § 3. Постоянные ползучести возьмем сле-

дующие:
$$\alpha = 0.03 \frac{1}{\text{день}}$$
, $\gamma = 0.026 \frac{1}{\text{день}}$, $C_0 = 0.9 \cdot 10^{-5} \frac{\text{см}^2}{\text{кг}}$, $A_1 = 4.82 \cdot 10^{-5} \frac{\text{см}^2}{\text{кг}}$, день, $\tau_0 = 28$ день.

Таблица 2

Величины затухания вапряжения по формулам (119), (121) и (122)

r/t		$\frac{-\pi^*(r,t)}{\pi^*(r,28)}$			$\frac{\sigma_{\rho}^*(r,-h,t)}{\sigma_{\rho}^*(r,-h,28)}$			$\frac{\sigma_{\phi}^{*}(r,-h,t)}{\sigma_{\phi}^{*}(r,-h,28)}$		
	(0	90	os	60	90	00	60	90	00	
0		0,7048	0,6750	0,7442	0,6873	0,6562	0,7442	0,6873 0,6842	0,6562 0,6528	

5°. Здесь рассматривался случай, когда температура изменяется только по высоте блока и по времени. Аналогичным путем можно решить задачу и в тех случаях, когда температура меняется симметрично относительно оси блока. В таком случае в правых частях уравнений (76) и (98) прибавляется член

⁷ Известия АН, серия физ. мат. ваук, № 5

$$(1+v) r^2 \frac{\partial z(r,z,t)}{\partial r}$$
,

а в остальном ход решения остается неизменным.

Некоторые задачи о термонапряженном состоянии бетонных блоков за пределом упругости рассмотрены в работах [7,8].

Институт математики и механики АН АрмССР

Поступило 20 IV 1957

Մ. Ա. Զագոյան

ԲԵՏՈՆԵ ԲԼՈԿՆԵՐԻ ՋԵՐՄԱԼԱՐՎԱԾԱՅԻՆ ՎԻՋԱԿԸ ՍՈՂՔԻ ՀԱՇՎԱՌՈՒՄՈՎ

UUTONONOU

Հոդվածում ուսումնասիրվում է ուղղանկյուն դուդանեսանիստի և դլանի ձև ունեցող բետոնե բլոկների լարվածային վիճակը, երբ ջերմաստիճանը փոփոխվում է կամալականորեն՝ ըստ բարձրության և ժամանակի։ Շոշափող լարումները, որոնք առաջանում են բլոկի և նրա հիմքի միացման մակերեսում, ընդունված են (1—3) համեմատական հորիզոնական տեղափոխումներին։

Օգտագործելով հարթե հատված բների ընդհանրացած հիպոխեղը, արված են հավասարակչուռթելան հավասարումները ինտեղրալ իմաստով, ինչպես դուտ առաձգական, այնպես էլ սողջի հաշվառման դեպջերում։

Մասնավորապես գլանաձև բլոկի դեպքում, սողջի հաշվառումով, ինպիըր ընթվում է 11 կարգի ինանդրո-դիֆերենցիալ հավասարման (98), որի լուծումը այսիում է Դինիի շարջերի միջոցով (105)։

Բերված են Թվային օրինակներ հաստատուն ջերմաստիճանի դեպքի համար։

ЛИТЕРАТУРА

- Арумиония Н. Х. и Абрамян Б. Л. О температурных напряжениях в прямоугольных блоках. Известия АН АрмССР, серия ФМЕТ наук, т. 8, № 4, 1955.
- Маслов Г. Н. Элементарные статические расчеты сооружений на температурные изменении. Известия НИИГ, т. 26, 1940.
- Ишлинский А. Ю. и Думанский А. В. О закономерностях растрескивания коры деревыев. ДАН СССР. т. 84, 1952.
- 4 Гринберг Г. А. Избранные вопросы математической теории электрических и магнитных явлений, 1948.
- Арупионян Іг. Х. Некоторые вопросы теории ползучести. 1952.
- 6. Ватсон Г. Н. Теория бесселеных функций, т. т. 1 и 2, 1949.
- Задолн М. А. Упруго-пластическое состояние прямоугольных бетонных блоков при равномерном распределени температуры. ДАН АрмССР, т. 23, № 5, 1956.
- Задоян М. А. Об одной задаче предельного состояния бетонных блоков. ДАН АрмССР, т. 24. № 5, 1957.